



UFABC - Universidade Federal do ABC

Sistemas de Controle II

Casos Especiais do Diagrama de Nyquist, Estabilidade

Prof^a Dra. Heloise Assis Fazzolari

heloise.fazzolari@ufabc.edu.br

Sala 717-1, 7º andar, Torre 1, Bloco A - Campus Santo André

3º Quadrimestre de 2021

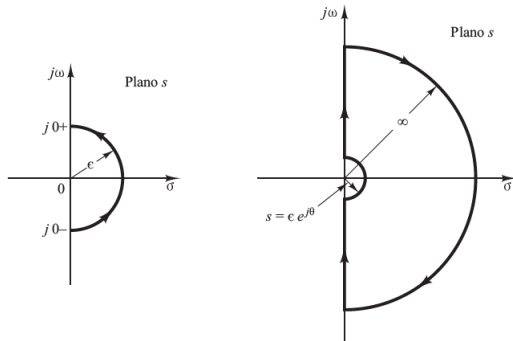
Caso especial

$G(s)H(s)$ possui polos e/ou zeros sobre o eixo $j\omega$

Caso existam polos sobre o eixo $j\omega$, então um desvio ao redor dos polos sobre o contorno é necessário, caso contrário, o mapeamento iria para infinito de uma forma indeterminada, sem informação angular. Consequentemente, um esboço completo do diagrama de Nyquist não poderia ser feito, e o número de voltas em torno de -1 não poderia ser determinado.

Como o percurso de Nyquist não deve passar pelos polos ou zeros de $G(s)H(s)$, se a função $G(s)H(s)$ tiver polos ou zeros na origem (ou sobre qualquer ponto no o eixo $j\omega$) o contorno no plano s deve ser modificado.

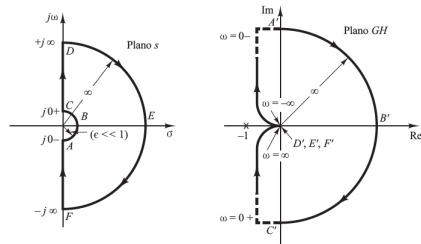
O modo usual é utilizar uma semicircunferência de raio infinitesimal ϵ . A área que o contorno fechado evita é muito pequena e tende a zero, à medida que $\epsilon \rightarrow 0$.



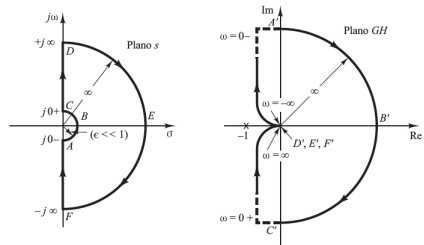
$$G(s) = \frac{K}{s(Ts + 1)}$$

Os pontos correspondentes a $s = j0+$ e $s = j0-$ no lugar geométrico de $G(s)H(s)$ no plano $G(s)H(s)$ são $-j\infty$ e $+j\infty$, respectivamente. No percurso semicircular com raio ϵ (onde $\epsilon \ll 1$), a variável complexa s pode ser escrita como $s = \epsilon e^{j\theta}$, com θ variando de -90° a $+90^\circ$. Então, $G(s)H(s)$ torna-se $G(\epsilon e^{j\theta})H(\epsilon e^{j\theta}) = \frac{K}{\epsilon e^{j\theta}} = \frac{K}{\epsilon} e^{-j\theta}$

O valor K/ϵ tende a infinito a medida que ϵ tende a zero e $-\theta$ varia de 90° a -90° , conforme um ponto representativo s se move ao longo da semicircunferência no plano s . Portanto, os pontos $G(j0-)H(j0-) = j\infty$ e $G(j0+)H(j0+) = -j\infty$ são ligados por uma semicircunferência de raio infinito no semiplano direito do plano GH.



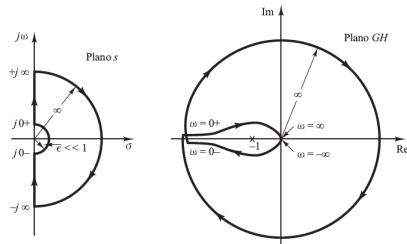
Como não existem polos no semiplano direito do plano s e o lugar geométrico de $G(s)H(s)$ não envolve o ponto $-1 + j0$, não há zeros da função $1 + G(s)H(s)$ no semiplano direito do plano s e portanto o sistema é estável.



Para uma F.T. de malha aberta $G(s)H(s)$ que envolve um fator $1/s^n$ ($n = 1, 2, 3\dots$), o diagrama de $G(s)H(s)$ descreve no sentido horário n semicircunferências de raio infinito em torno da origem, à medida que um ponto representativo s se move ao longo do semicírculo de raio ϵ .

Considere $G(s)H(s) = \frac{K}{s^2(Ts+1)}$. Então, $\lim_{s \rightarrow \epsilon e^{j\theta}} G(s)H(s) = \frac{K}{\epsilon^2 e^{2j\theta}} = \frac{K}{\epsilon^2} e^{-2j\theta}$.

Conforme θ varia de -90° a $+90^\circ$ no plano s , o ângulo de $G(s)H(s)$ varia de -180° a $+180^\circ$. Uma vez que não há nenhum polo no semiplano direito do plano s e que o lugar geométrico envolve o ponto $-1 + j0$ duas vezes no sentido horário para qualquer valor positivo de K , existem dois zeros de $1 + G(s)H(s)$ no semiplano direito do plano s . Portanto, o sistema é sempre instável.



O critério de estabilidade de Nyquist pode ser generalizado para um caso geral em que $G(s)H(s)$ tem polos e/ou zeros no eixo $j\omega$

Critério de Estabilidade de Nyquist

Se a função de transferência de malha aberta $G(s)H(s)$ possuir k polos no semiplano direito do plano s , então, para que haja estabilidade, o lugar geométrico de $G(s)H(s)$, à medida que um ponto representativo s descrever o percurso modificado de Nyquist no sentido horário, deverá envolver o ponto $-1 + j0$ k vezes no sentido anti-horário.

$$Z = N + P$$

Z = número de zeros de $1 + G(s)H(s)$ no semiplano direito do plano s ;

N = número de envolvimentos do ponto $-1 + j0$ no sentido horário;

P = número de polos $G(s)H(s)$ no semiplano direito do plano s .

Examinando a estabilidade de sistemas lineares de controle utilizando o critério de estabilidade de Nyquist, vemos que podem ocorrer três possibilidades:

- ❶ Não existe nenhum envolvimento do ponto $-1 + j0$. Isso implica que o sistema será estável se não houver polos de $G(s)H(s)$ no semiplano direito do plano s ; caso contrário, o sistema será instável.
- ❷ Existem um ou mais envoltimentos do ponto $-1 + j0$ no sentido anti-horário. Nesse caso, o sistema será estável se o número de envoltimentos no sentido anti-horário for o mesmo que o número de polos de $G(s)H(s)$ no semiplano direito do plano s ; caso contrário, o sistema será instável.
- ❸ Existem um ou mais envoltimentos do ponto $-1 + j0$ no sentido horário. Nesse caso, o sistema é instável.

Exemplo 3

Considere um sistema de malha fechada cuja função de transferência de malha aberta é dada por:

$$G(s)H(s) = \frac{K}{(T_1s + 1)(T_2s + 1)}.$$

Examine a estabilidade do sistema.

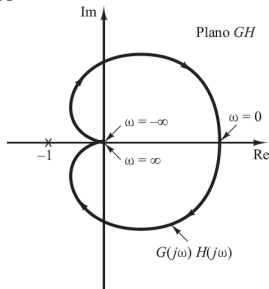
Exemplo 3

Considere um sistema de malha fechada cuja função de transferência de malha aberta é dada por:

$$G(s)H(s) = \frac{K}{(T_1s + 1)(T_2s + 1)}.$$

Examine a estabilidade do sistema.

Solução:



Dado que $G(s)H(s)$ não tem nenhum polo no semiplano direito do plano s e que o ponto $-1 + j0$ não é envolvido pelo lugar geométrico de $G(j\omega)H(j\omega)$, esse sistema é estável para quaisquer valores positivos de K , T_1 e T_2 .

Exemplo 4

Considere o sistema com a seguinte função de transferência:

$$G(s)H(s) = \frac{K}{s(T_1s + 1)(T_2s + 1)}.$$

Examine a estabilidade do sistema para dois casos. (1) ganho K é pequeno e (2) K é grande.

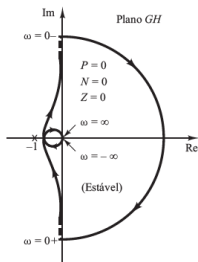
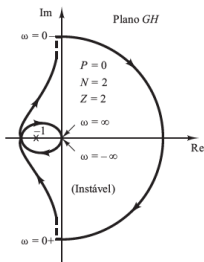
Exemplo 4

Considere o sistema com a seguinte função de transferência:

$$G(s)H(s) = \frac{K}{s(T_1s + 1)(T_2s + 1)}.$$

Examine a estabilidade do sistema para dois casos. (1) ganho K é pequeno e (2) K é grande.

Solução:

Pequeno valor de K 

Grande valor de K

Para valores pequenos de K não há nenhum envolvimento do ponto $-1 + j0$, portanto o sistema é estável. Para valores elevados de K , o lugar geométrico de $G(s)H(s)$ envolve o ponto $-1 + j0$ duas vezes no sentido horário, indicando dois polos de malha fechada no semiplano direito do plano s , e o sistema é instável.

Exemplo 5

A estabilidade de um sistema de malha fechada com a seguinte função de transferência de malha aberta:

$$G(s)H(s) = \frac{K(T_2s + 1)}{s^2(T_1s + 1)}.$$

depende dos valores relativos de T_1 e T_2 . Construa os diagramas de Nyquist e determine a estabilidade do sistema.

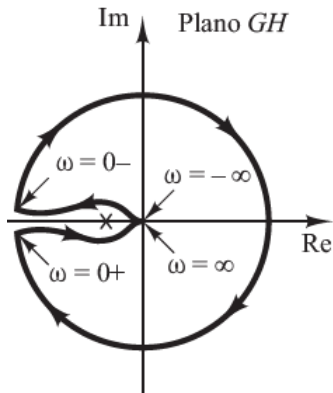
Exemplo 5

A estabilidade de um sistema de malha fechada com a seguinte função de transferência de malha aberta:

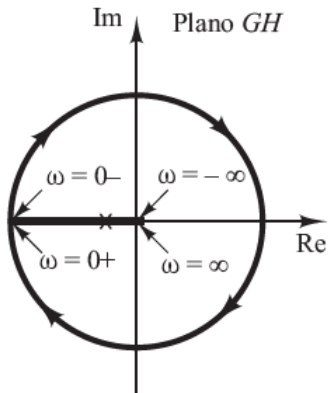
$$G(s)H(s) = \frac{K(T_2s + 1)}{s^2(T_1s + 1)}.$$

depende dos valores relativos de T_1 e T_2 . Construa os diagramas de Nyquist e determine a estabilidade do sistema.

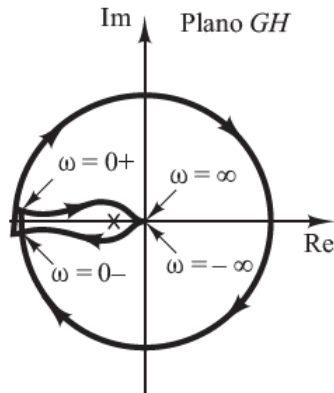
Solução: Para $T_1 < T_2$, o lugar geométrico de $G(s)H(s)$ não envolve o ponto $-1 + j0$ e o sistema de malha fechada é estável. Para $T_1 = T_2$, o lugar geométrico de $G(s)H(s)$ passa pelo ponto $-1 + j0$, o que indica que os polos de malha fechada estão localizados no eixo $j\omega$. Para $T_1 > T_2$, o lugar geométrico de $G(s)H(s)$ envolve o ponto $-1 + j0$ duas vezes no sentido horário. Portanto, o sistema de malha fechada tem dois polos de malha fechada no semiplano direito do plano s e é instável.



$T_1 < T_2$
(Estável)



$T_1 = T_2$
O lugar geométrico
de $G(j\omega)H(j\omega)$ passa
pelo ponto $-1 + j0$



$T_1 > T_2$
(Instável)

Exemplo 6

Desenhe o diagrama de Nyquist para o sistema de controle com realimentação unitária cuja função de transferência de malha aberta é:

$$G(s) = \frac{K(1 - s)}{s + 1}$$

Utilizando o critério de estabilidade de Nyquist, determine a estabilidade do sistema de malha fechada.

Exemplo 7

Um sistema com a função de transferência de malha aberta

$$G(s) = \frac{K}{s^2(T_1s + 1)}$$

é inerentemente instável. Esse sistema pode ser estabilizado pela adição de um controle derivativo. Esboce os diagramas polares para a função de transferência de malha aberta com e sem o controle derivativo.

Exercício 1

Desenhe o diagrama de Nyquist para a seguinte $G(s)$:

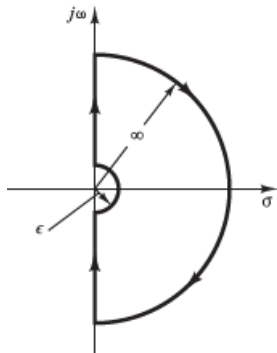
$$G(s) = \frac{1}{s(s^2 + 0,8s + 1)}$$

Exercício 2

Considere o sistema de controle dotado de realimentação unitária:

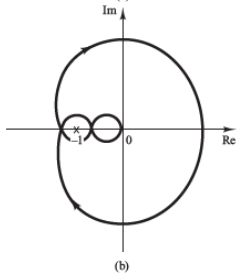
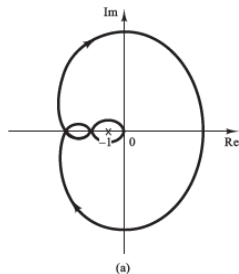
$$G(s) = \frac{1}{s(s-1)}$$

Suponha que escolhamos o contorno de Nyquist mostrado na Figura. Desenhe o lugar geométrico correspondente de $G(j\omega)$ no plano $G(s)$. Utilizando o critério de estabilidade de Nyquist, determine a estabilidade do sistema.



Exercício 3

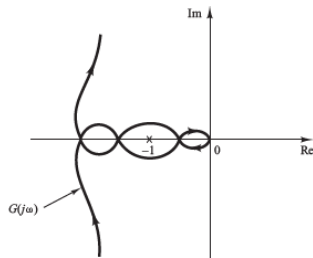
Considere um sistema de malha fechada com realimentação unitária, no qual $G(s)$ não possui polos no semiplano direito do plano s . Se o diagrama de Nyquist for o indicado na Figura (a), esse sistema será estável? Se o diagrama de Nyquist for o indicado na Figura (b), esse sistema será estável?



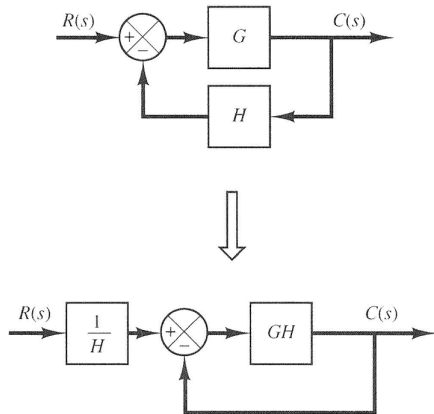
Exercício 4

O diagrama de Nyquist de um sistema dotado de realimentação unitária tem a função de transferência $G(s)$ no ramo direto mostrada na Figura.

Se $G(s)$ tiver um polo no semiplano direito do plano s , o sistema será estável? Se $G(s)$ não tiver nenhum polo no semiplano direito do plano s , mas tiver um zero nesse semiplano, o sistema será estável?



No projeto de sistemas de controle, exige-se que o sistema seja estável e que tenha uma estabilidade relativa adequada. Vamos supor que o sistema considerado tenha realimentação unitária. Portanto, é possível estender a análise de estabilidade relativa do sistema com realimentação unitária a sistemas com realimentação não unitária. O sistemas considerados serão de fase mínima.

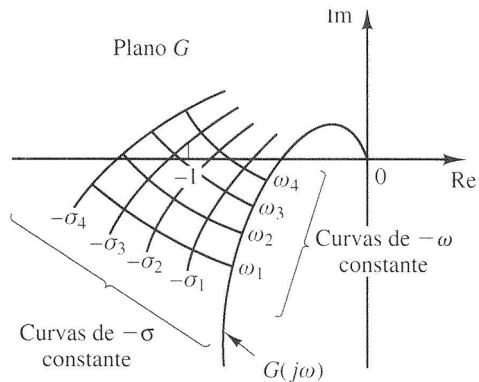
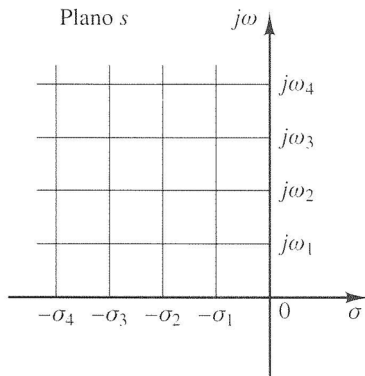


Um dos problemas importantes na análise de sistemas de controle é determinar todos os polos de malha fechada ou, pelo menos, aqueles mais próximos do eixo $j\omega$ (ou o par dominante de polos de malha fechada).

A reta $\sigma = 0$ (o eixo $j\omega$) no plano s é mapeado no diagrama de Nyquist no plano $G(s)$. A aproximação do lugar geométrico de $G(j\omega)$ ao ponto $-1 + j0$ é uma indicação da estabilidade relativa de um sistema estável. Em geral, quando mais próximo o lugar geométrico de $G(j\omega)$ esteja do ponto $-1 + j0$, maior será o M_p nas resposta transitória ao degrau e maior o t_s .

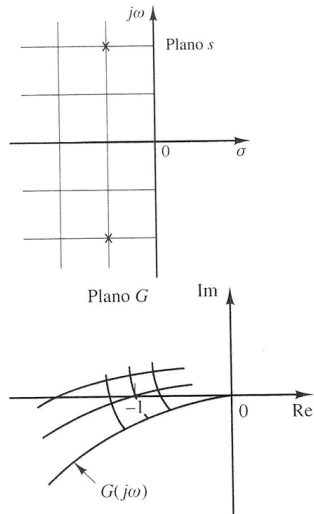
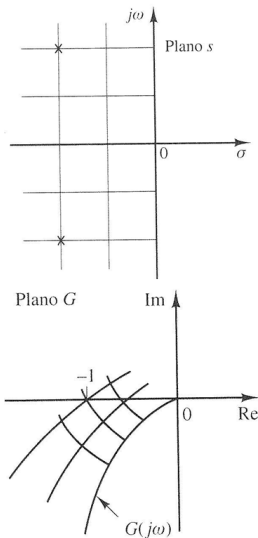
Estabilidade relativa

Análise de estabilidade relativa pelo mapeamento conforme



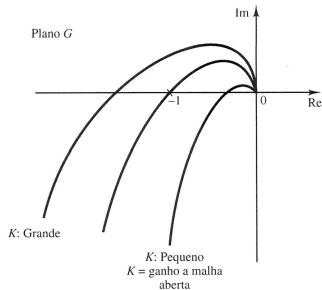
Estabilidade relativa

Análise de estabilidade relativa pelo mapeamento conforme



O ganho K de M.A.

- 1 Para K elevado, o sistema é instável.
- 2 Para K que passa pelo ponto $-1 + j0$, o sistema está no limite da instabilidade e o sistema apresenta oscilações sustentadas.
- 3 Para K pequeno, o sistema é estável.



Para muitos sistemas de controle, dois parâmetros são de extrema importância para medir a distância do diagrama de Nyquist ao ponto $-1 + j0$. Esses parâmetros são:

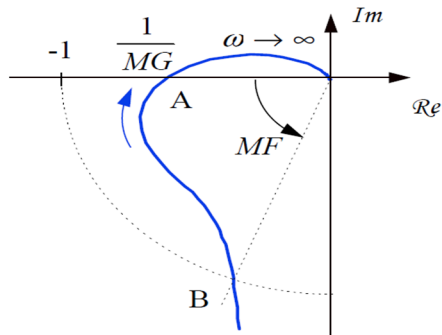
- a margem de ganho (MG) e
- a margem de fase (MF),

e constituem o que se denomina **margens de estabilidade** de um sistema de controle.

- A MG é uma medida de quanto o ganho pode ser aumentado antes de causar instabilidade no sistema.
- A MF é uma medida de quanto de defasagem pura o sistema tolera antes de se tornar instável.

Deve-se notar que variações de ganho preservam a forma do diagrama de Nyquist, alterando apenas suas dimensões. Ao aumentarmos o ganho do sistema, o ponto A caminha para a esquerda (sobre o eixo real negativo). Se o ganho chegar a MG, o ponto A estará exatamente sobre o ponto crítico $-1 + j0$ e o sistema estará na iminência de perder a estabilidade.

De modo similar, o efeito de defasagens puras é somente girar o diagrama de Nyquist em torno da origem. Tomando como base o ponto B , notamos que se for introduzida uma defasagem pura na F.T. de malha do sistema de valor igual a MF esse ponto coincidirá com $-1 + j0$.



Margem de fase é o ângulo de atraso de fase adicional, na frequência de cruzamento de ganho, ω_{cg} , necessária para que o sistema atinja o limiar de estabilidade.

A frequência de cruzamento de ganho, ω_{cg} , é a frequência na qual o módulo da F.T.M.A. for unitário ou 0 dB, i.e., $|G(j\omega_{cg})| = 1$ ou $|G(j\omega_{cg})|_{dB} = 0$ dB.

Assim, a MF é determinada como

$$MF = 180^\circ + \phi$$

onde

MF é a margem de fase;

$\phi = \angle G(j\omega_{cg})$ é o ângulo de fase da F.T.M.A. de cruzamento de ganho.

Margem de ganho é o recíproco do módulo $|G(j\omega)|$ na frequência em que o ângulo é -180° .

Definamos a frequência de cruzamento de fase, ω_{cf} , como a frequência em que o ângulo de fase da F.T.M.A. é igual a -180° resulta na margem de ganho MG:

$$MG = \frac{1}{|G(j\omega_{cf})|}$$

$$MG_{dB} = 20 \log_{10} MG = -20 \log_{10} |G(j\omega_{cf})|$$

$MG_{dB} > 0$ se $MG > 1$.

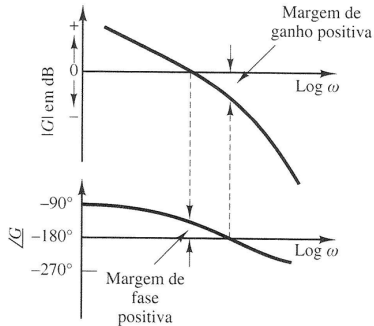
$MG_{dB} < 0$ se $MG < 1$.

$MG_{dB} > 0$ significa que o sistema é estável.

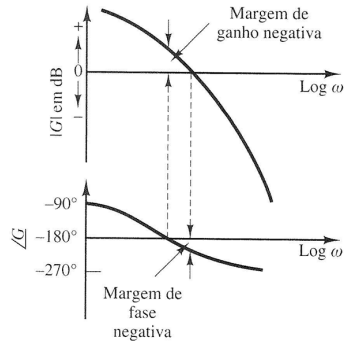
$MG_{dB} < 0$ significa que o sistema é instável.

Nos diagramas logarítmicos, o ponto crítico $-1 + j0$ no plano complexo corresponde às retas 0 dB e -180° .

Para determinarmos a **MG** a partir dos diagramas de Bode, devemos obter o valor do ganho na frequência em que a defasagem for igual a -180° . O valor de MF pode ser lido diretamente do gráfico de defasagem na frequência em que o ganho for igual a 0 dB.



Sistema estável

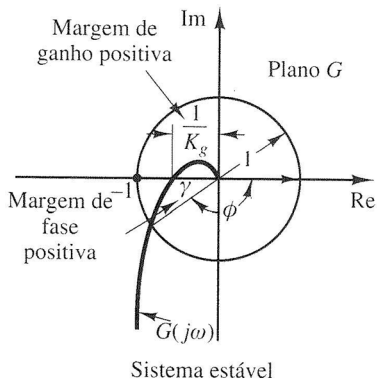


Sistema instável

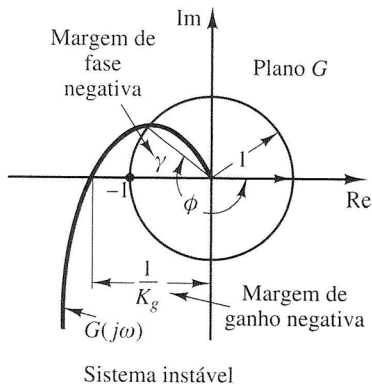
(a)

Margens de Estabilidade

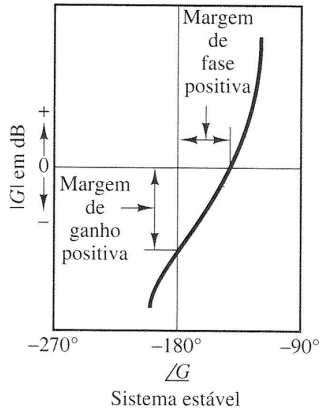
Para determinarmos a MG a partir do diagrama polar, devemos obter o valor do ganho na frequência em que a defasagem for igual a -180° . O valor de MF pode ser lido diretamente do gráfico polar em que o ganho for igual a 1.



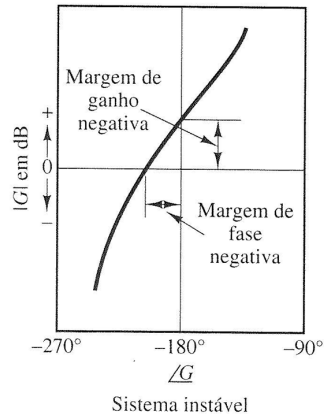
(b)



Para determinarmos a **MG** a partir do diagrama de **Módulo em dB versus ângulo de fase**, devemos obter o valor do ganho na frequência em que a defasagem for igual a -180° . O valor de **MF** pode ser lido diretamente do gráfico de **Módulo em dB versus ângulo de fase** em que o ganho for igual a 0 dB.



(c)



Assim, MG e MF podem ser utilizados como critérios de projeto.

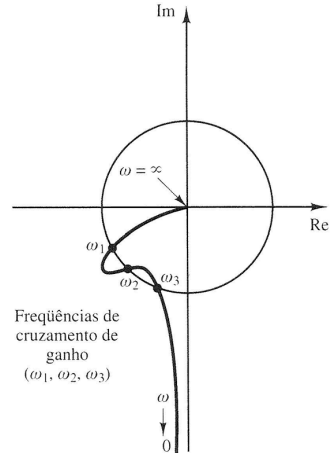
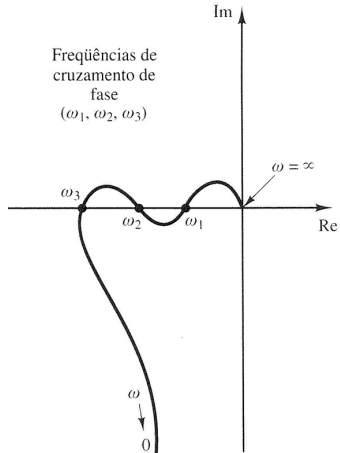
É usual considerar satisfatórias as margens de ganho superiores a 6 dB (o que corresponde a ganhos maiores que 2) e margens de fase entre 30° e 60° .

Em alguns casos, as noções de margens de estabilidade falham. **Para sistemas de primeira e segunda ordem, a fase nunca atinge 180° e, assim, a margem de ganho é infinita.** Para sistemas de ordem mais elevada, é possível que haja mais de um ponto de cruzamento de 0 dB e mais de um cruzamento de 180° , e as margens de estabilidade podem levar a erros. Além disso, os sistemas de fase não mínima apresentam critérios de estabilidade opostos aos definidos acima.

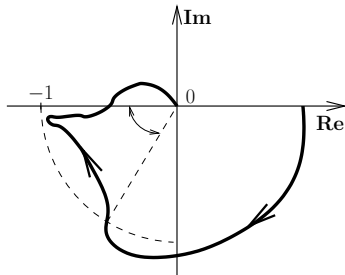
Para sistemas de fase não mínima, é preciso examinar o diagrama de Nyquist completo para se determinar a estabilidade. Não se pode basear somente nas margens de ganho e fase nesses casos.

Observar que, para sistemas de fase não mínima em que a malha aberta é instável, a condição de estabilidade não será satisfeita a menos que o diagrama de $G(j\omega)$ envolva o ponto $-1 + j0$. Portanto, um sistema estável de fase não mínima terá margens de fase e de ganho negativas.

Margens de Estabilidade



Mesmo para sistemas de fase mínima, valores considerados bons de margens de ganho e de fase podem não ser indicadores confiáveis da distância do diagrama de Nyquist ao ponto $-1 + j0$. No gráfico mostrado, o sistema tem amplas margens de ganho e fase. Contudo, uma pequena perturbação na região de frequências próxima ao ponto $-1 + j0$ pode desestabilizar o sistema.



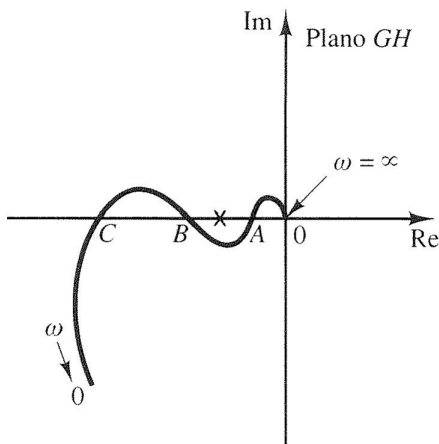
Comentários:

- MF e MG de um sistema de controle são uma medida da proximidade do diagrama polar em relação ao ponto $-1 + j0$. Portanto, MF e MG podem ser utilizadas como critérios de projeto.
- MF e MG ambas devem ser fornecidas para determinação da estabilidade relativa.
- Para sistemas de fase mínima, ambas MF e MG devem ser positivas.
- MF e MG apropriadas protegem contra variações nas componentes do sistema.
- Desempenho satisfatório, $MG \geq 6$ dB e MF entre 30° e 60° .

Seja um sistema tal que o diagrama polar de $G(j\omega)H(j\omega)$ tem o aspecto mostrado na Figura. Supondo que $G(s)H(s)$ seja estável ($P = 0$), o critério de Nyquist permite concluir que o sistema é estável em M.F., pois $N = 0$.

Aumentando o ganho de modo que o ponto -1 pertença ao segmento AO , temos $N = 2$, e o sistema em M.F. passa a ser instável. O mesmo ocorre quando se reduz o ganho de forma que o ponto -1 pertença ao segmento CB .

Sistemas em M.F. que são estáveis apenas para valores de ganho num certo intervalo são chamados condicionalmente estáveis.



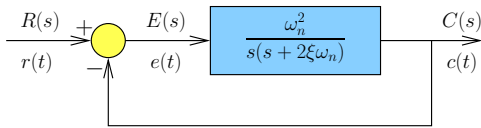
Correlação entre a resposta transitória ao degrau e a resposta em frequência no sistema padrão de segunda ordem

A resposta do sistema abaixo a uma entrada degrau unitária é

$$c(t) = 1 - e^{-\zeta\omega_n t} \left(\cos(\omega_d t) + \frac{\zeta}{\sqrt{1-\zeta^2}} \sin(\omega_d t) \right), \quad t \geq 0$$

no qual

$$\omega_d = \omega_n \sqrt{1 - \zeta^2}.$$



Correlação entre a resposta transitória ao degrau e a resposta em frequência no sistema padrão de segunda ordem

O máximo sobre-sinal M_p da resposta ao degrau unitário

$$M_p = e^{\left(-\frac{\zeta}{\sqrt{1-\zeta^2}}\pi\right)}$$

M_p ocorre na resposta transitória que tem a frequência natural amortecida $\omega_d = \omega_n \sqrt{1-\zeta^2}$.

M_p excessivo para $\zeta < 0,4$.

Como o sistema tem a F.T.M.A.

$$G(s) = \frac{\omega_n^2}{s(s + 2\zeta\omega_n)}$$

para se obter a MF desse sistema, deve-se determinar a frequência de cruzamento de ganho, ω_{cg} , quando o módulo de $|G(j\omega)| = 1$, obtemos

$$\omega_{cg} = \omega_n \sqrt{\sqrt{1+4\zeta^4} - 2\zeta^2}$$

Correlação entre a resposta transitória ao degrau e a resposta em frequência no sistema padrão de segunda ordem

nessa frequência, o ângulo de fase de $G(j\omega_{cg})$ é

$$\begin{aligned}\angle G(j\omega_{cg}) &= -\angle j\omega_{cg} - \angle(j\omega_{cg} + 2\zeta\omega_n) \\ &= -90^\circ - \tan^{-1} \left(\frac{\sqrt{\sqrt{1+4\zeta^4} - 2\zeta^2}}{2\zeta} \right)\end{aligned}$$

Portanto, a MF é

$$\begin{aligned}\text{MF} &= 180^\circ + \angle G(j\omega_{cg}) \\ &= 90^\circ - \tan^{-1} \left(\frac{\sqrt{\sqrt{1+4\zeta^4} - 2\zeta^2}}{2\zeta} \right) \\ &= \tan^{-1} \left(\frac{2\zeta}{\sqrt{\sqrt{1+4\zeta^4} - 2\zeta^2}} \right)\end{aligned}$$

Correlação entre a resposta transitória ao degrau e a resposta em frequência no sistema padrão de segunda ordem

- 3 Para sistemas de ordem superior com par de polos dominantes de M.F. essa relação pode ser utilizada como regra prática na avaliação da estabilidade relativa da resposta transitória a partir da resposta em frequência.
- 4 ω_r e ω_d são quase iguais para ζ pequeno. Assim, para ζ pequeno, ω_r indica a velocidade transitória do sistema.
- 5 Para ζ pequeno, M_r e M_p são maiores. Para ζ muito pequeno, M_r fica muito elevado ($M_r \gg 1$) e M_p não excede de 1.
- 6 O valor de M_r é indicativo da estabilidade relativa. Desempenho transitório satisfatório para $1,0 < M_r < 1,4$ ($0\text{dB} < M_r < 3\text{dB}$) que corresponde a $0,4 < \zeta < 0,7$. Para $M_r > 1,5$ a resposta transitória ao degrau apresenta diversos sobre-sinais.

Correlação entre a resposta transitória ao degrau e a resposta em frequência nos sistemas genéricos

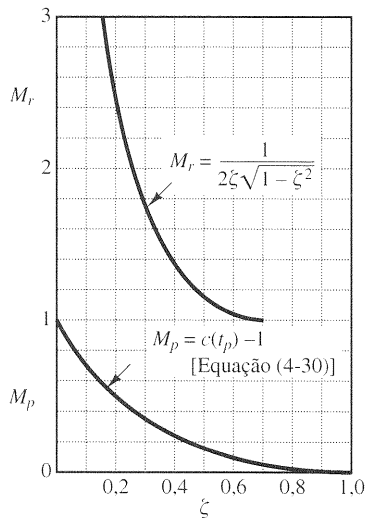
- 7 A amplitude da frequência de ressonância ω_r é indicativo da velocidade da resposta transitória. ω_r maior, a resposta temporal é rápida. Tempo de subida é inversa a ω_r . Na resposta em frequência de M.A., ω_d da resposta transitória fica entre ω_{ganho} e ω_{fase} .
- 8 ω_r e ω_d da resposta transitória ao degrau são muito próximas em sistemas pouco amortecidos.

As três relações mostradas são úteis para relacionar a resp. transitória ao degrau com a resp. em freq. de sistemas de ordem superior, desde que estes possam ser aproximados a um sistema padrão de segunda ordem ou a um par de polos complexos conjugados de M.F.

A MF, a MG, o pico de ressonância M_r , a freq. de ressonância ω_r são grandezas no domínio da freq. utilizadas nas especificações de desempenho. Outras grandezas são: freq. de canto, a banda passante e a taxa de corte.

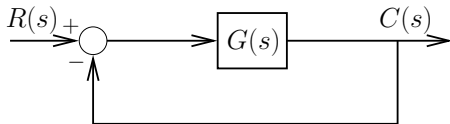
Correlação entre a resposta transitória ao degrau e a resposta em frequência nos sistemas genéricos

Curvas M_r versus ζ e M_p versus ζ para o sistema de segunda ordem.



Correlação entre a resposta transitória ao degrau e a resposta em frequência no sistema padrão de segunda ordem

Para sistemas de fase mínima de ordem qualquer pode-se mostrar que sistemas com pequena margem de fase apresentam ressonância. Seja o sistema



Temos que F.T.M.F. é dada por

$$T(s) = \frac{G(s)}{1 + G(s)}$$

Correlação entre a resposta transitória ao degrau e a resposta em frequência no sistema padrão de segunda ordem

Para a frequência de cruzamento de ganho:

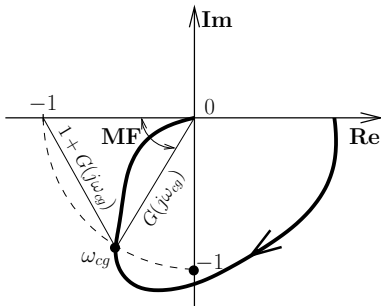
$$|G(j\omega_{cg})| = 1$$

Assim,

$$\begin{aligned} |T(j\omega_{cg})| &= \frac{|G(j\omega_{cg})|}{|1 + G(j\omega_{cg})|} \\ &= \frac{1}{|1 + G(j\omega_{cg})|} \end{aligned}$$

Pelo diagrama de Nyquist, pode-se escrever que:

$$|1 + G(j\omega_{cg})| = 2 \sin\left(\frac{MF}{2}\right)$$

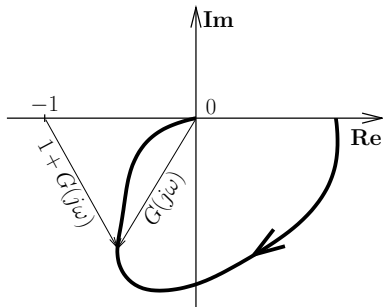


Correlação entre a resposta transitória ao degrau e a resposta em frequência no sistema padrão de segunda ordem

Assim, temos que

$$|T(j\omega_{cg})| = \frac{1}{2 \sin\left(\frac{MF}{2}\right)}$$

Conclui-se, então, que se a MF for pequena, $|T(j\omega_{cg})|$ será grande. Assim, haverá ressonância em torno da frequência ω_{cg} .



Frequência de canto (freq. de corte) e banda passante (largura de banda)

Assim,

$$\left| \frac{C(j\omega)}{R(j\omega)} \right| < \left| \frac{C(j0)}{R(j0)} \right| - 3 \text{ dB}, \quad \text{para } \omega > \omega_c$$

Para os sistemas em que $|C(j0)/R(j0)| = 0 \text{ dB}$,

$$\left| \frac{C(j\omega)}{R(j\omega)} \right| < -3 \text{ dB}, \quad \text{para } \omega > \omega_c$$

O sistema de M.F. filtra o sinal dos componentes cujas freq. são maiores do que a freq. de canto e transmite o sinal daqueles componentes com freq. menores que a freq. de canto. O intervalo de freq. $0 \leq \omega \leq \omega_c$, no qual o ganho de M.F. não cai abaixo de -3dB , é chamada de banda passante do sistema.

A banda passante indica a a freq. em que o ganho começa a cair a partir de seu valor de baixa freq., i.e., indica até que ponto o sistema seguirá bem uma entrada senoidal. O tempo de subida e a banda passante são inversamente proporcionais entre si.

Frequência de canto (freq. de corte) e banda passante (largura de banda)

A especificação da banda passante pode ser determinada pelos seguintes fatores:

- A capacidade de reproduzir o sinal de entrada. Uma banda passante grande corresponde a um tempo de subida pequeno ou resposta rápida. Pode-se dizer que a banda passante é proporcional à velocidade de resposta.
- As características de filtragem necessárias de ruídos de alta frequência.

Taxa de corte é a inclinação da curva de módulo em dB próxima à freq. de canto. A taxa de corte indica a capacidade de um sistema distinguir o sinal de ruído.

Pode-se notar que uma curva de resposta em freq. de M.F., com características de corte acentuada, pode ter uma amplitude do pico de ressonância muito grande, o que indica ter o sistema um margem de estabilidade pequena.